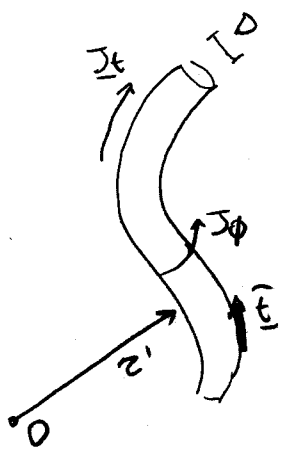


ANTENNE A FILO

E' una classe molto ampia di antenne, costituite da elementi filari segmentati secondo forme opportune.

Si ammette che tali fili abbiano diametro molto inferiore alle lunghezze d'onda in modo che sia lecito supporre che le correnti non abbiano componente trasversale, bensì solo componente lungo la direzione del filo



DTTA

$$\underline{J} = \underline{J}_t + \underline{J}_\phi$$

si ammette che

$$|\underline{J}_\phi| \ll |\underline{J}_t|$$

Detto quindi \hat{t} il vettore tangente al filo (che ne descrive quindi la forma)

le densità di corrente sarà pertanto espressa come

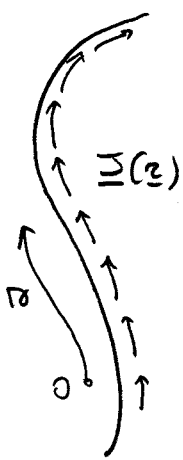
$$\underline{J}(\underline{r}') = I(\theta) \hat{t} \delta(u-u') \delta(v-v')$$

dove $\underline{r}' = \theta \hat{t} + u' \hat{u} + v' \hat{v}$

θ coordinate curvilinea

con u e v

coordinate che si muovono sulle sezioni del filo



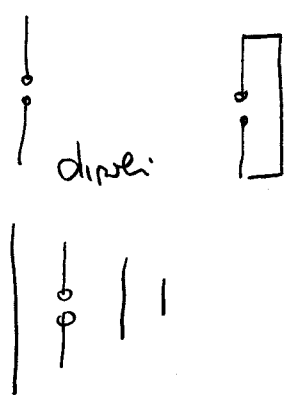
In queste ipotesi, il campo lontano mediato da una siffette distribuzione di corrente si risolve come

$$E(\underline{r}) \sim -j\omega\mu_0 \frac{e^{-jk_0 r}}{4\pi r} \int_{\text{filo}} \left[\hat{\underline{t}} - (\hat{\underline{r}} \cdot \hat{\underline{t}}) \hat{\underline{r}} \right] I(\alpha) e^{jk_0 \hat{\underline{r}} \cdot \underline{r}'} d\alpha$$

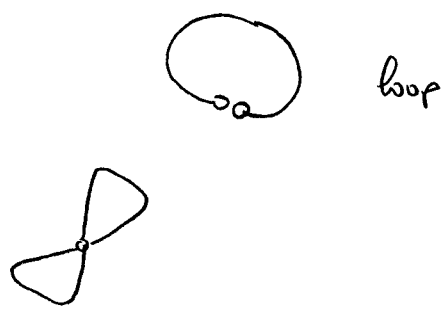
$$\underline{E}(\underline{r}) \sim -j\omega\mu_0 \frac{e^{-jk_0 r}}{4\pi r} \int_{\text{filo}} \left[\hat{\underline{t}} - (\hat{\underline{r}} \cdot \hat{\underline{t}}) \hat{\underline{r}} \right] I(\alpha) e^{-jk_0 \hat{\underline{r}} \cdot \underline{r}'} d\alpha$$

Esempio

1. Antenne rettilinee



2. Antenne curvilinee



ANTENNE A FILO RETTILINEE

Si considere un'antenna filo lunga L , orientata lungo l'asse \hat{z} e centrata rispetto al sistema di riferimento

$$\hat{t} \equiv \hat{z}$$

$$\theta \equiv z'$$

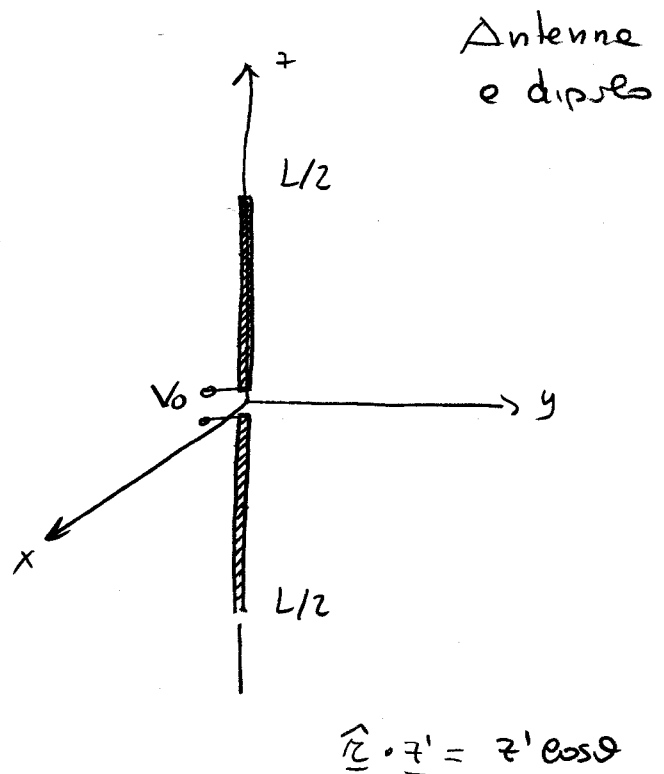
$$\hat{z} - (\hat{r} \cdot \hat{z}) \hat{r} = \hat{z}^{\circ}$$

con

$$\hat{z} = \hat{r} \cos \theta - \hat{\theta} \sin \theta$$

$$\hat{z}^{\circ} = \hat{r} \cos \theta - \hat{\theta} \sin \theta -$$

$$- \cos \theta \hat{r} = - \sin \theta \hat{\theta}$$



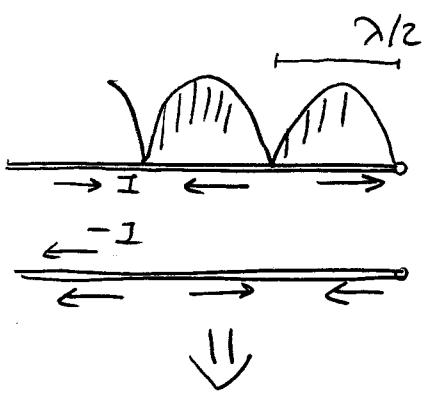
Quindi il campo irradiato si scrive come

$$\underline{E}(\underline{r}) \sim j \eta_0 k_0 \frac{e^{-j k_0 r}}{4\pi r} \sin \theta \int_{-L/2}^{L/2} I(z') e^{j k_0 z' \cos \theta} dz' \hat{\theta}$$

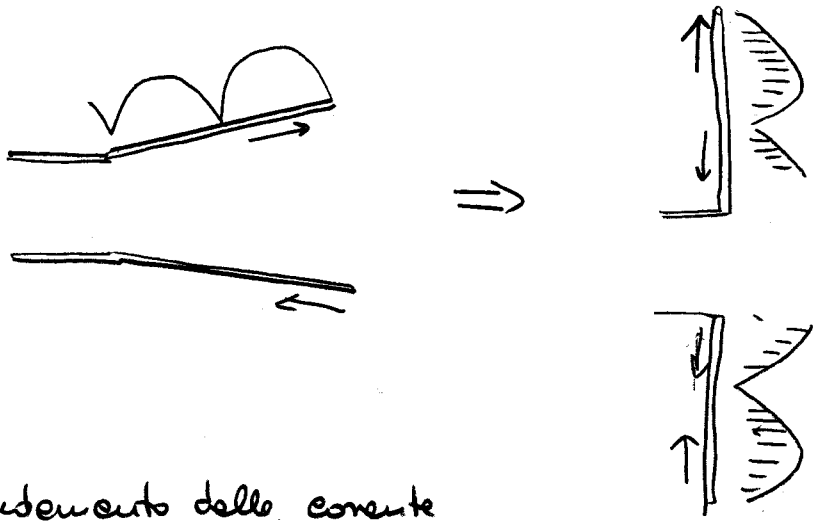
Ai morsetti del dipolo è connesso un generatore di tensione in regime sinusoidale che ecciterà sul conduttore una corrente elettrica $I(z')$, anch'essa variabile sinusoidalmente nel tempo, che produce irradiazione.

Tale corrente può essere riguardata come una corrente equivalente che "simula" la presenza del conduttore elettrico perfetto del filo. Questa corrente non è in generale nota ed è di per sé l'incognita del problema. Si vedrà più avanti come determinabile in qualunque sia la forma dell'entente filare. Ai fini del campo lontano è invece sufficiente fare delle ipotesi sulle forme di tale corrente da inserire nell'integrale del campo lontano.

Un dipolo elettrico di lunghezza finita, come quello disegnato, si può pensare come ottenuto da una Area di trasmissione divaricata, in circuito aperto -



circuito aperto \Rightarrow si formano massimi e minimi di corrente (onde stazionarie)



L'andamento delle correnti

potrebbe pertanto essere approssimato da onde stazionarie

con un numero di massimi e minimi dipendenti dalle

lunghezze dell'antenna

$$I(z) = I_0 \frac{\sin \left[k_0 \left(\frac{L}{2} - |z| \right) \right]}{\sin \frac{kL}{2}} \quad (*)$$

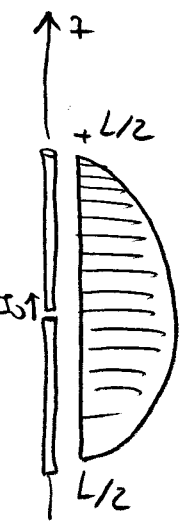
(*) queste stime delle correnti non è adatta al calcolo delle reattanze d'ingresso, ma solo delle resistenze di radiazione che è un parametro di far-field.

DIPOLO A MEZZ'ONDA

$$L = \frac{\lambda}{2} \Rightarrow I(z') = I_0 \sin \left[\frac{2\pi}{\lambda} \frac{\lambda}{4} - k|z'| \right] = I_0 \sin \left[\frac{\pi}{2} - k|z'| \right]$$

$$I(z') = I_0 \cos kz'$$

Il campo irradiato dipende

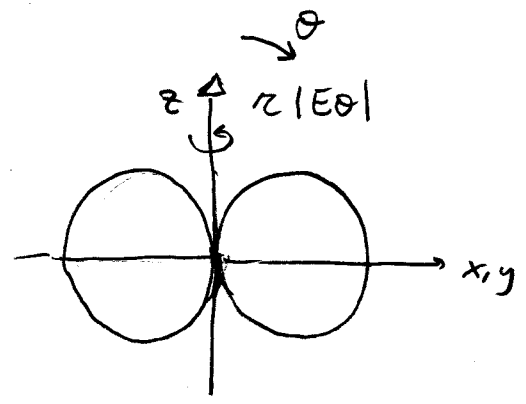
$$\square \underline{E}(z) \sim \int \eta_0 k_0 \frac{e^{-jk_0 r}}{4\pi r} I_0 \sin \theta \int_{-L/2}^{L/2} \cos kz' e^{jk_0 z' \cos \theta} dz' \hat{\theta}$$


L'integrale vale

$$2 \cdot \frac{\cos \left(\frac{\pi}{2} \cos \theta \right)}{\sin^2 \theta}$$

$$\Rightarrow \begin{cases} \underline{E}(r) \sim 2j \eta_0 I_0 \frac{e^{-jk_0 r}}{4\pi r} \frac{\cos \left(\frac{\pi}{2} \cos \theta \right)}{\sin^2 \theta} \hat{\theta} \\ \underline{H}(r) = \frac{1}{\eta_0} \hat{r} \times \underline{E} \end{cases}$$

L'andamento è simile a quello del dipolo elementare, ma, come si vedrà, è più schiacciato



Si calcola la Direttività e l'angolo di apertura e metà potenza

$$D(\theta, \phi) = \frac{I(\theta, \phi)}{P_R} 4\pi$$

$$I(\theta, \phi) = \frac{1}{2\eta_0} |E_\theta|^2 = \frac{\eta_0}{8\pi^2} I_0^2 \frac{\cos^2\left(\frac{\pi}{2} \cos\theta\right)}{\sin^2\theta}$$

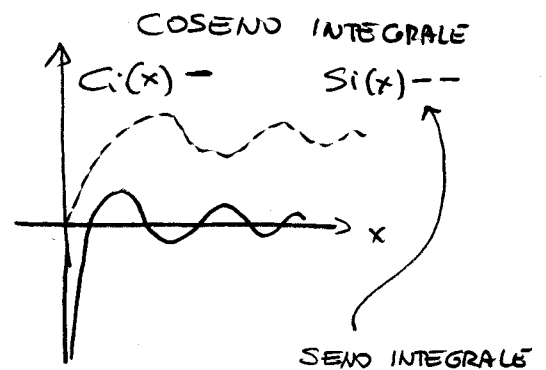
$$P_R = \frac{\eta_0}{8\pi^2} I_0^2 \int_0^{2\pi} \int_0^\pi \frac{\cos^2\left(\frac{\pi}{2} \cos\theta\right)}{\sin^2\theta} d\theta d\phi$$

$$= \frac{\eta_0}{4\pi} I_0^2 \int_0^{2\pi} \frac{\cos^2\left(\frac{\pi}{2} \cos\theta\right)}{\sin^2\theta} d\theta$$

$$\underbrace{\int_0^{2\pi} \frac{\cos^2\left(\frac{\pi}{2} \cos\theta\right)}{\sin^2\theta} d\theta}_{\frac{Ci(2\pi)}{2}}$$

$$Ci(x) \triangleq - \int_x^\infty \frac{\cos t}{t} dt$$

$$Si(x) \triangleq \int_0^x \frac{\sin t}{t} dt$$



si tratta di funzioni speciali

tabulate sui testi di Antenna.

(ex. Balanis)

Si può comunque approssimare

$$P_R \approx 36,5 I_0^2$$

La direttività e pertanto

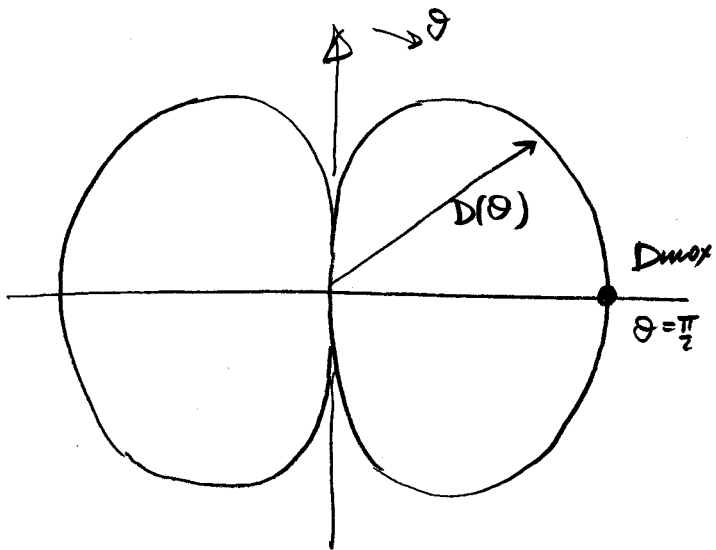
$$D(\theta, \phi) = \frac{\eta_0 \cdot 4\pi}{8\pi^2 \cdot 36,5} \frac{\cos^2\left(\frac{\pi}{2} \cos\theta\right)}{\sin^2\theta}$$

$$\eta_0 = 120\pi$$

$$D(\theta, \phi) = 1,64 \frac{\cos^2\left(\frac{\pi}{2} \cos\theta\right)}{\sin^2\theta}$$

Le massime direttività si ha sul piano $\theta = \frac{\pi}{2}$

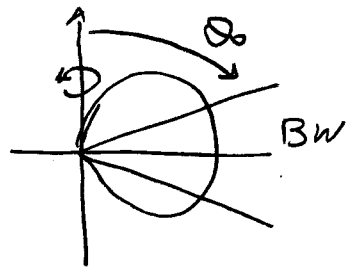
$$D_{max} = 1,64 = 2,15 \text{ dB}$$



Si ricorda che era

	D [dB]	BW-3
dipolo isotropo	0	360
dipolo elementare	1,76	90°
dipolo $\lambda/2$	2,15	78°

Beam Width



$$BW_{-3} = \pi - 2\theta_0 \quad \cos$$

$$D(\theta_0) = \frac{1}{2} D_{\max} \Rightarrow \cos^2\left(\frac{\pi}{2} \cos\theta_0\right) = \frac{1}{2} \sin^2\theta_0$$

$$\theta_0 = 51^\circ$$

$BW_{-3} = 78^\circ$

Le "ciambelle" del solido di radiazione descritte dalle direttivite di un dipolo a $\lambda/2$ è quindi piu schiacciate delle corrispondente del dipolo elementare.

Resistenza di Radiazione

$$P_{in} = P_R = \frac{1}{2} R_R |I_0|^2 \Rightarrow R_R = \frac{2P_R}{|I_0|^2} = 2 \times 36,5 \Omega$$

$R_R \approx 74 \Omega$

È molto vicina all'impedenza caratteristica dei generatori a 50Ω e quindi facilmente adattabili.

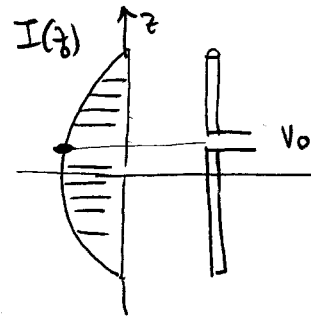
NB

Le caratteristiche del dipolo a $\lambda/2$ vanno merchiate e fucce in teste! NON SI TRANSIGE!

Resistenza di radiazione fuori centro

Se l'alimentazione del dipolo è posta lontano dal centro del dipolo, allora si avrà un valore differente della resistenza di Radiazione

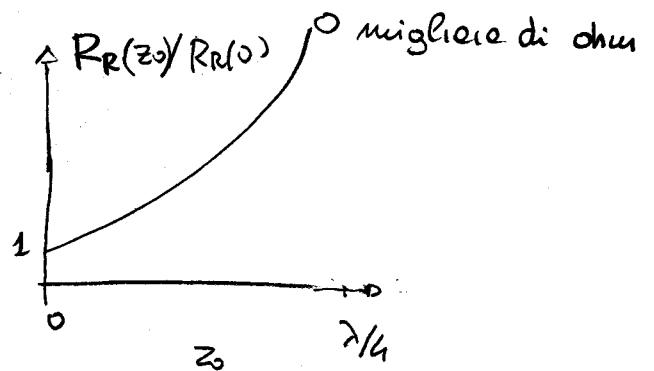
$$R_R(z_0) = \frac{2 P_R}{|I(z_0)|^2}$$



$$I(z) = I_0 \cos k_0 z$$

$$\Rightarrow R_R(z_0) = \frac{2 P_R}{|I_0|^2 \cos^2 k_0 z} = R_R(z=0) \frac{1}{\cos^2 k_0 z}$$

La resistenza di radiazione
 è quindi minima per
alimentazione posta al centro



e può allora essere modificata (adattata) semplicemente spostando il punto in cui sono posti i morsetti.

Reattanze d'impedenza

Non è calcolabile direttamente dalle equazioni scritte perché è legato a fenomeni di campo vicino i quali non sono deducibili dalle semplici formule ipotizzate per le correnti. L'unica cosa che si può dire è che le reattanze d'impedenza è circa nulla per un dipolo e molto alta.

Un dipolo a $\lambda/2$ è quindi in antena risonante

$$Z_{in} \approx R_R$$

Se il dipolo è realizzato con un buon conduttore (rame, alluminio) le perdite sono molto basse e l'efficienza di radiazione

$$\eta_R > 95\%$$

Esempio (Collin pag 36)

$$r_0 = 0.5 \text{ cm}$$

$$f = 100 \text{ MHz}$$

$$R_j \approx 0,052 \Omega$$

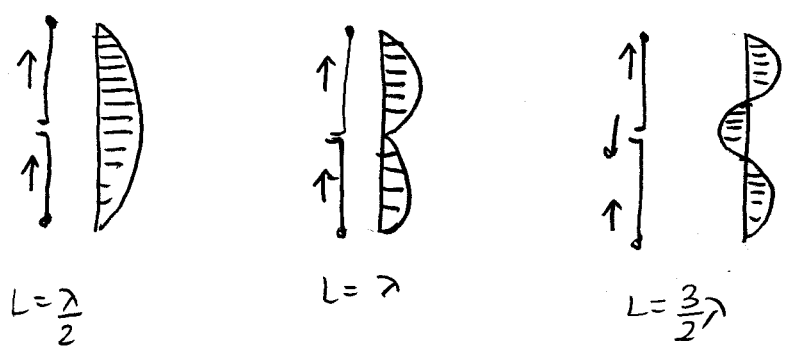
$$R_R = 74 \Omega$$

Impedente d'ingresso vs. Frequente

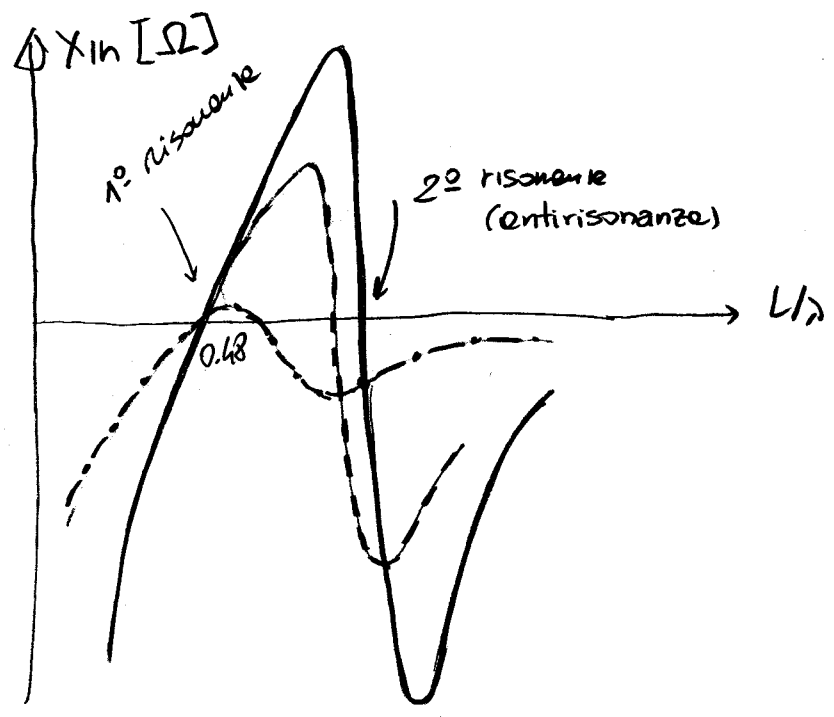
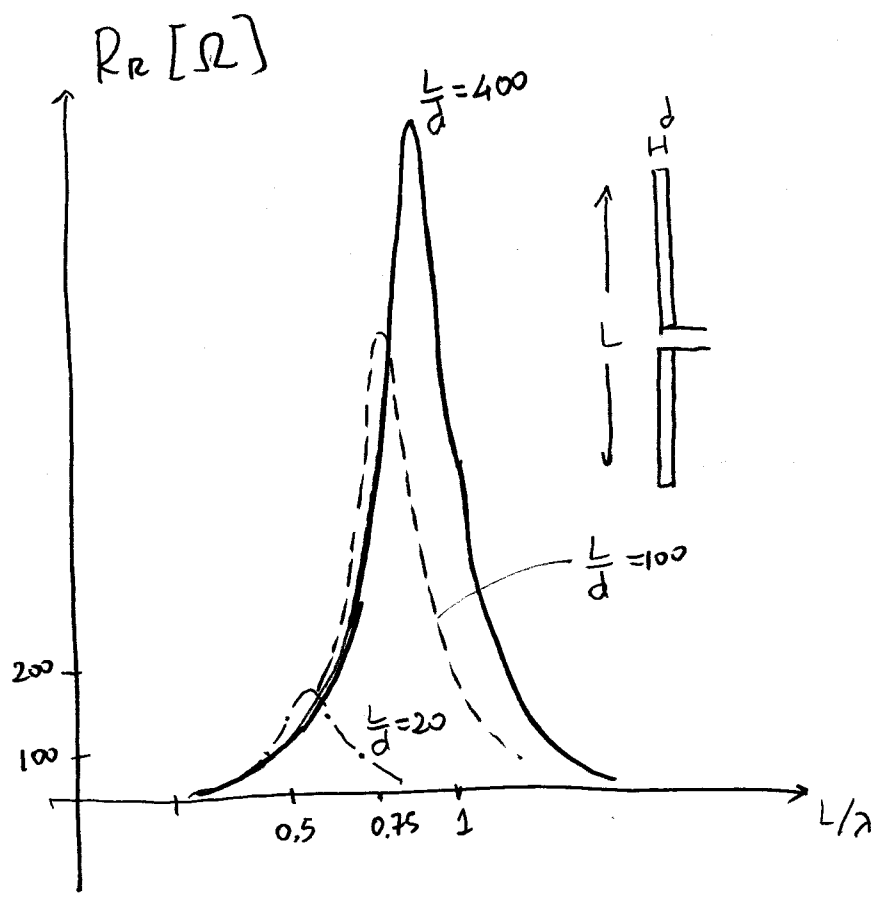
Al variare della frequente cambia la dimensione elettrica del dipolo

$$k_0 L \Rightarrow \frac{L}{\lambda}$$

Cambierà quindi la distribuzione di corrente. In particolare, aumentando L/λ aumentano le oscillazioni di corrente sul filo: me oscillazioni ogni me lunghezza d'onda.



Le variazioni delle correnti comporterò un variazione di tutte le grandezze elettriche e radiate.



All'aumentare dello spessore del dipolo le curve si schiacciano
 verso lo zero: l'aumento dell'impedenza risulta quindi meno
 sensibile alle variazioni di frequenza (bande più larghe)

□ $L \approx 0,48\lambda$

$X_{in} = 0$

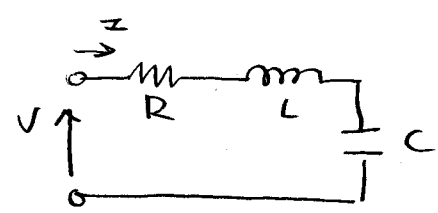
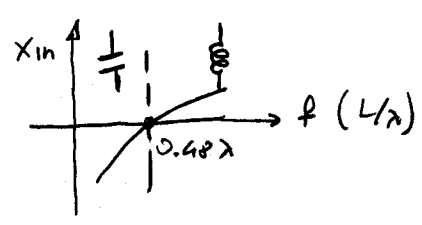
Risonanza

$R_{in} = 75\Omega$

Serie

$I_0 = \frac{V}{Z_{in}}$

Le corrente sul punto di alimentazione assume un valore non particolarmente basso. Si parla di risonanza serie perché tensione e corrente, e ridosso di $L/\lambda = 0,48$ si comportano come in un circuito elettrico RLC serie



Tensione e corrente sono in fase

Le curve delle reattanze attraversano lo zero con una bassa pendenza.

□ $L \approx \lambda$

$X_{in} = 0$

RISONANZA

$R_{in} \approx$ centinaia di Ω

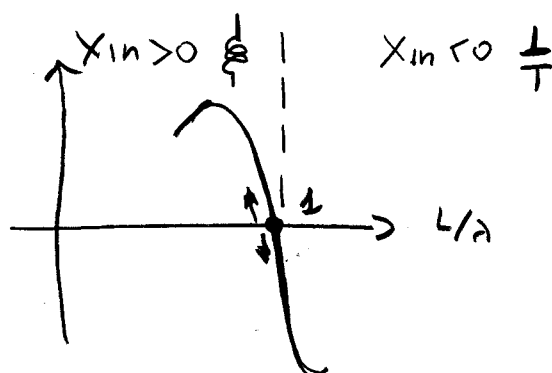
PARALLELO

(ANTIRISONANZA)

Le corrente sul punto di alimentazione assume in questo

nessi valori molto bassi, prossimi allo zero.

La reattanza efferse è
zero con una pendenza
molto elevata.



Piccole variazioni di frequenza
nell'intorno dell'antirisonanza

provocano elevate variazioni dell'impedenza d'ingresso
dell'antenna, e quindi del suo adattamento di impedenza.

Nelle prime risonanze, invece, l'impedenza d'ingresso
è meno sensibile alle variazioni di frequenza (L/λ)
nell'intorno delle risonanze

N.B. \Rightarrow

Le bande delle risonanze serie è più
larga delle bande relative alle risonanze
parallele.

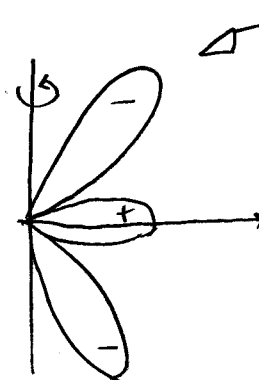
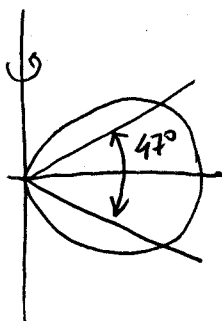
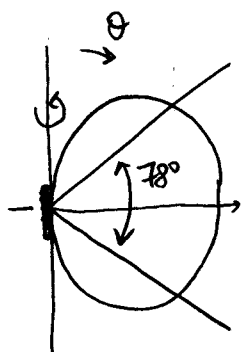
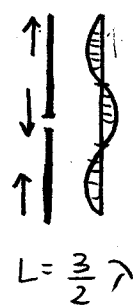
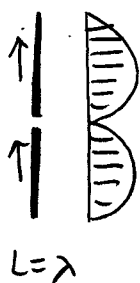
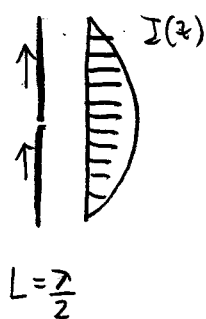
N.B. \Rightarrow

Alle frequenze per cui la reattanza è negativa
il dipolo ha un comportamento capacitivo.
Altrimenti ha comportamento induttivo

Un'antenna (dipolo semplice) alterna risonante (serie) e antirisonante, all'infinito.

Tipicamente si fa in modo di lavorare alle risonanze serie che esibiscono una impedenza più bassa e quindi più semplice da ottenere al generatore o al carico.

Alle risonanze superiori il diagramma di radiazione comincia a diventare lobato, la direttività massima aumenta ed il BW₋₃ diminuisce.



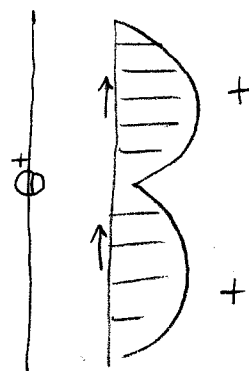
I vari lobi hanno fase alterna

Dipolo ed onde intere

Il dipolo ed onde intere esibisce un comportamento molto diverso se l'alimentazione è posta al centro o fuori centro

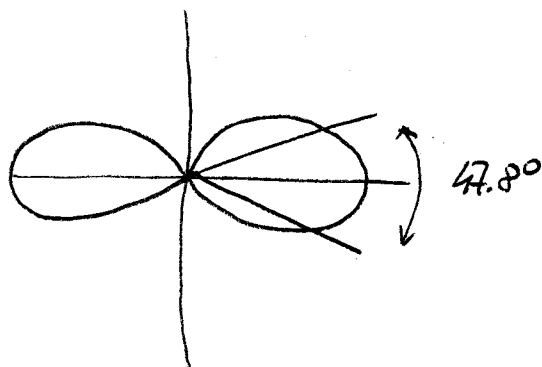
1) Alimentazione al centro

il generatore vede una impedenza d'ingresso molto elevata ($\approx 10^3 \Omega$)
ma non infinite quindi viene comunque accoppiata una parte di potenza all'antenna.



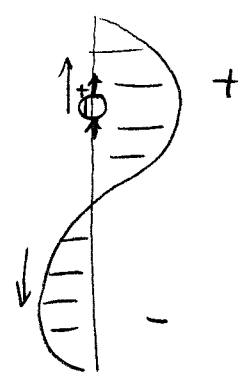
Il generatore fissa il verso delle correnti $\uparrow \downarrow$ e di conseguenza le correnti sui due bracci del $\uparrow \downarrow$ dipolo è equiverse \Rightarrow non si ha un nullo nel diagramma di radiazione nella direzione broadside

Il diagramma di radiazione è simile a quello di un dipolo a $\lambda/2$ ma il lobo è più stretto.



2) Alimentazione fuori centro

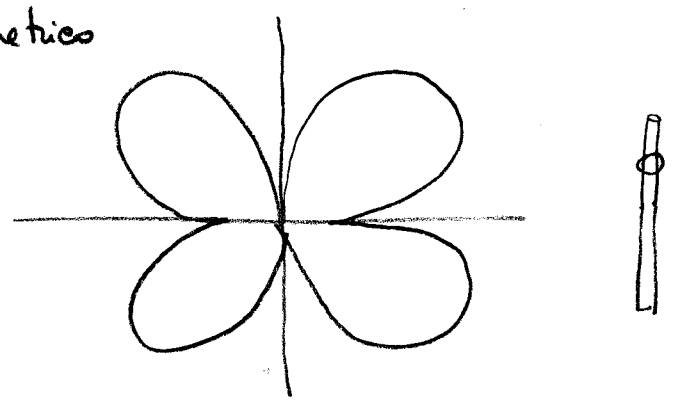
In questo caso le onde nel filo vede inalterate di fase rispetto a $z=0$. Ciò accade anche quando il generatore è spostato di molto poco dal centro.



Il diagramma di radiazione è allora molto diverso da quello del dipolo a $\lambda/2$

in generale è asimmetrico

Si ha simmetria solo se sono utilizzati due generatori in posizioni simmetriche (nulli nel biadrante)



In altri termini il dipolo ad onda intera ammette due diverse soluzioni di onde dipendenti dalla posizione del generatore



La prima è competitiva con l'alimentazione nel centro e la seconda con l'alimentazione fuori centro.

Antenne (Lunghezze) Efficace Dipolo $\lambda/2$

Si era trovato per il dipolo a momento

$$\underline{E}(r) \sim 2j\eta_0 \frac{e^{-jk_0 r}}{4\pi r} I_0 \frac{\cos\left(\frac{\pi}{2} \cos\theta\right)}{\sin\theta} \hat{\theta}$$

La rappresentazione del campo in funzione delle lunghezze efficaci e^{-}

$$\underline{E}(r) \sim j\eta_0 k_0 \frac{e^{-jk_0 r}}{4\pi r} I_0 h(\hat{r})$$

$$\Rightarrow \underset{\text{dip. } \frac{\lambda}{2}}{h(\hat{r})} = \frac{2}{k_0} \frac{\cos\left(\frac{\pi}{2} \cos\theta\right)}{\sin\theta} \hat{\theta}$$

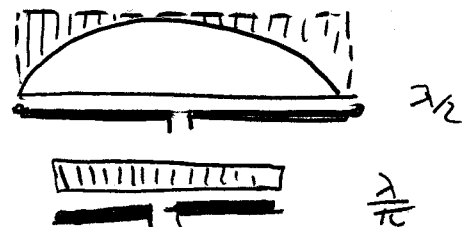
Il massimo valore di lunghezza efficace (e massima proiezione del dipolo lungo la normale alla direzione di osservazione)

$$e \quad \boxed{h_{\max}} = |h\left(\frac{\pi}{2}\right)| = \frac{2}{k_0} = \boxed{\frac{\lambda}{\pi}} < \frac{\lambda}{2} = L$$

Ciò la h_{\max} è più piccola delle lunghezze geometriche dell'antenna. In altri termini:

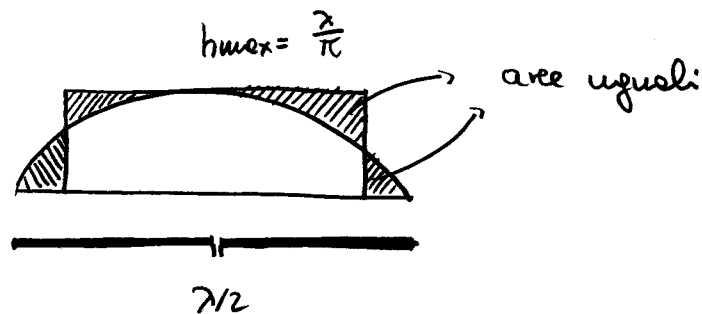
lo spazio e disposizione non è

meto in maniera ottimale per



l'imediazione rispetto al caso di avere una corrente costante lungo tutto il filo (come avviene nel dipolo elementare).

Detto in altre parole, il dipolo $\lambda/2$ si comporta nei riguardi delle capacità di direzione il potente radiante come un dipolo più corto avente distribuzione costante di corrente.



DIPLOLO CORTO ($L \ll \lambda/2$)

Un dipolo di lunghezza inferiore a $\lambda/2$, per esempio
compreso tra

$$\frac{\lambda}{50} < L < \frac{\lambda}{10}$$

ha un comportamento intermedio tra il dipolo a momento
ed il dipolo Hertziano (che ha corrente costante).

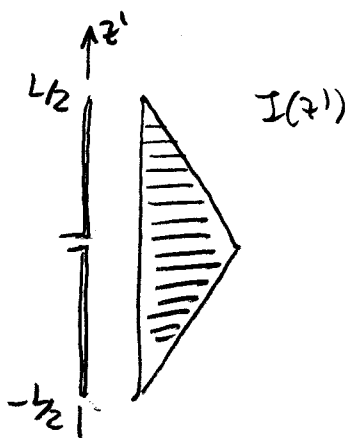
In un dipolo corto (reale, non metametico) le correnti
dovrebbero annullarsi ai bordi e quindi non può che essere
ancora massima al centro. Un modello molto semplice di
andamento di corrente è una funzione triangolare come si

può dedurre approssimando l'espressione

generica delle correnti

sul filo rettilineo

$$I(z') = I_0 \frac{\sin [k_0 (\frac{L}{2} - |z'|)]}{\sin \frac{k_0 L}{2}}$$



con

$$\sin [k_0 \frac{L}{2} (1 - \frac{2|z'|}{L})] \sim k_0 \frac{L}{2} (1 - \frac{2|z'|}{L})$$

$$\sin \frac{k_0 L}{2} \sim \frac{k_0 L}{2} \Rightarrow I(z') \sim I_0 (1 - \frac{2|z'|}{L})$$

Una approssimazione si può anche introdurre nell'integrale di radiazione

$$\int_{-L/2}^{L/2} I(z') e^{jk_0 z' \cos \theta} dz'$$

poiché $k_0 z' \ll 1$

$$|e^{jk_0 z' \cos \theta}| < 1$$

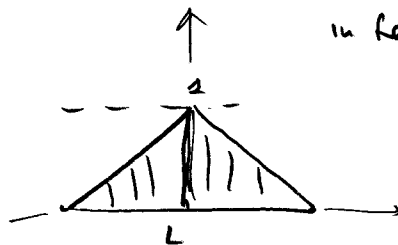
allora si può assumere che l'esponenziale sia unitaria, cioè si trascurano le piccole differenze di fase tra i dipoli elementari sul filo

$$e^{jk_0 z' \cos \theta} \sim 1$$

$$\Rightarrow E_{\theta} \approx j \eta_0 k_0 \frac{e^{-jk_0 r}}{4\pi r} \sin \theta I_0 \int_{-L/2}^{L/2} \left(1 - \frac{2|z'|}{L}\right) dz'$$

i contributi elementari si sommano in fase

$$\int_{-L/2}^{L/2} \left(1 - \frac{2|z'|}{L}\right) dz'$$



$$= \frac{L}{2}$$

$$\Rightarrow E_{\theta} \approx j \eta_0 k_0 \left[\frac{L}{2} I_0 \right] \sin \theta \frac{e^{-jk_0 r}}{4\pi r}$$

$$E_{\theta} = j \eta_0 k_0 \left[\frac{L}{2} I_0 \right] \sin \theta \frac{e^{-jk_0 r}}{4\pi r}$$

dipolo Hertziano

Il dipolo equivalente quindi ha lunghezza elettrica

$$\boxed{h = \frac{L}{2}}$$

La lunghezza fisica è quindi usata in maniera poco efficiente.

La resistenza di radiazione si può calcolare con il solito procedimento e, ripetendo il calcolo fatto per il dipolo elementare si trova

$$R_R = 20\pi^2 \left(\frac{L}{2\lambda}\right)^2$$

che risulta quindi $1/4$ di quelle del dipolo elementare.

Il diagramma di radiazione è molto simile a quello del dipolo Hertziano.

Dipoli più piccoli di $\lambda/2$ non sono risonanti e hanno quindi una reattanza d'ingresso capacitiva. L'antenna si può portare in risonanza connettendo in serie all'elemento una induttanza e costanti concentrate tale che

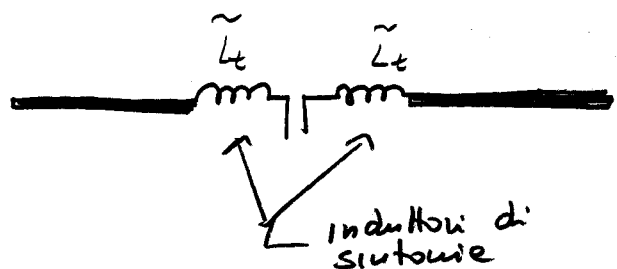
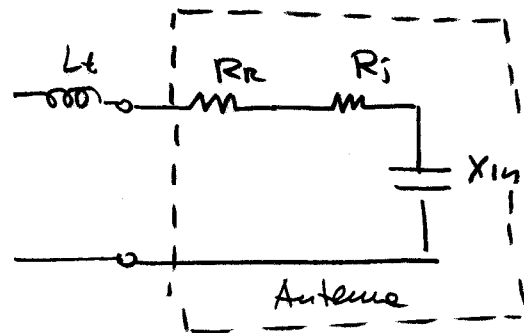
$$\omega L_t = -X_{in}$$

$$L_t = -\frac{X_{in}}{\omega}$$

Per preservare la simmetria

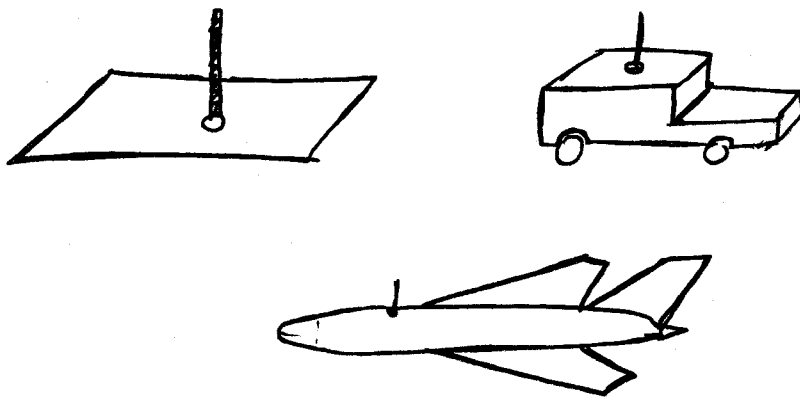
possiamo avere i due dotti due

in dotti con $\tilde{L}_t = -\frac{X_{in}}{2\omega}$

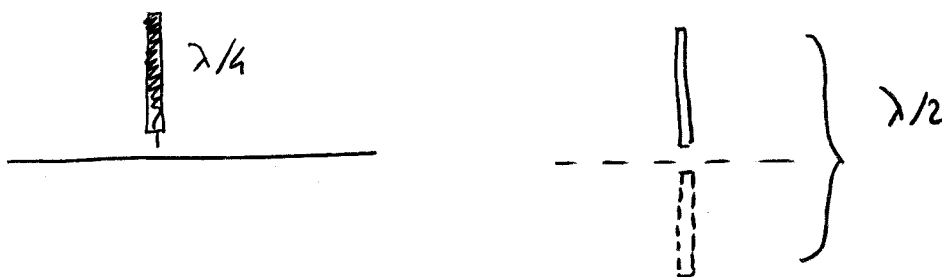


MONOPOLO ELETTRICO

A volte è utile realizzare un'antenna a filo su conduttore piano (come nel caso del telefono, il tettuccio dell'auto, le carlinghe di un aeroplano, il ponte di una nave).

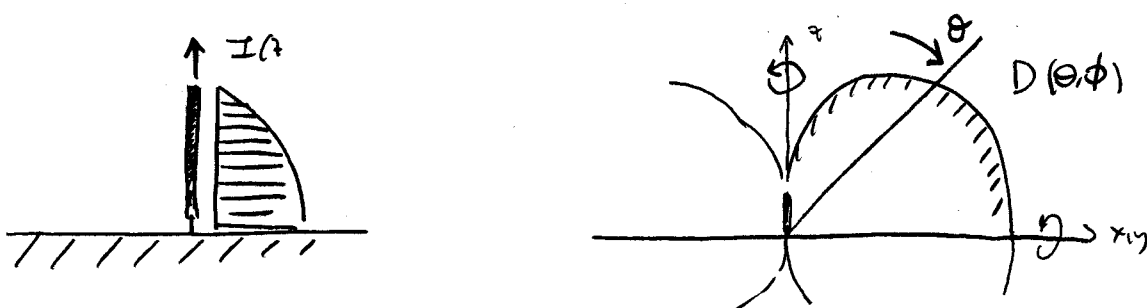


In tal caso si ricorda che un piano perfettamente conduttore si comporta come uno specchio ricreando una immagine speculare dell'antenna



La stessa antenna su piano di messa ha quindi proprietà radiative molto simili a quelle dell'antenna in un mezzo libero.

Tra le configurazioni più utilizzate c'è il monopolo e $\lambda/4$ che viene all'immagine inverte come un dipolo e $\lambda/2$ in $z > 0$



La direttività risulta però scelta di un fattore $\times 2$, rispetto a quella del dipolo, come dimostrato in seguito:

$$D(\theta, \phi) [\text{mono}] = 4\pi \frac{I(\theta, \phi)}{\int_0^{2\pi} \int_0^{\pi/2} I(\theta, \phi) d\Omega} \quad 0 < \theta < \frac{\pi}{2}$$

mezzo sfera

L'intensità di radiazione è la stessa di quella del dipolo corrispondente. La potenza irradiata è però metà ($\int_0^{2\pi} \int_0^{\pi/2} *$ invece di $\int_0^{2\pi} \int_0^{\pi} *$) e quindi:

$$\begin{aligned} D(\theta, \phi) [\text{mono}] &= 2 D(\theta, \phi) [\text{dipolo}] = 1,54 \times 2 = 3,28 \\ &= \underline{2,15} + 3 = \underline{\underline{5,15 \text{ dB}}} \\ &\quad \text{dB} \end{aligned}$$

Stesso discorso per l'impedenza che invece risulta ridotta e metà di quella del dipolo

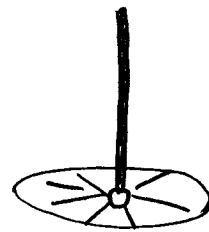
$$Z_{in}[\text{mono}] = \frac{2 P_R[\text{mono}]}{|I_0|^2} = \frac{2 (P_R[\text{dipolo}]/2)}{|I_0|^2} = \\ = \frac{1}{2} Z_{in}[\text{dipolo}]$$

Alle prime risonanze (lunghezza complessiva del monopolo pari a $L_{\text{eff}} = \lambda/4$) la resistenza d'ingresso è quindi

$$R_{in}[\text{mono}] = 37 \Omega$$

Una realizzazione approssimata di un monopolo è l'antenna marconiiana

nella quale il piano metallico infinito è sostituito da un disco metallico (o con conduttori flessibili e rigati)



ANTENNA
MARCONIANA